

# مروز و بررسی انواع مدل‌های فرم‌پذیر در بخش‌بندی و تشخیص خودکار مرز اندوکارد در تصاویر تشدید مغناطیسی قلبی

حمیده عسگریان<sup>۱</sup>، مهدی سعادتمند طرزجان<sup>۲</sup>

<sup>۱</sup> آزمایشگاه تصویربرداری پزشکی، گروه مهندسی برق، دانشکده مهندسی، دانشگاه فردوسی مشهد  
Asgarian\_h@yahoo.com

<sup>۲</sup> استادیار، آزمایشگاه تصویربرداری پزشکی، گروه مهندسی برق، دانشکده مهندسی، دانشگاه فردوسی مشهد  
Saadatmand@um.ac.ir

## چکیده

تصاویر تشدید مغناطیسی قلبی (CMRI) از نظر دقا آناتومی و وضوح تصویر، یک منبع مناسب برای مطالعه فعالیت و بررسی بیماری‌های قلبی بشمار می‌رود. با وجود کیفیت بالای این تصاویر در حیطه کاربرد دارای محدودیت‌هایی هستند و از جمله مهمترین این محدودیت‌ها، حجم بالای و تعداد زیاد این تصاویر و نیاز به پردازش دستی بر روی آنهاست. از این رو روش‌هایی خودکار یا نیمه خودکار برای بخش‌بندی تصاویر تشدید مغناطیسی قلبی اهمیت می‌یابد. تصاویر پزشکی و بطور ویژه تصاویر تشدید مغناطیسی قلبی بدلیل آناتومی پیچیده و پارامترهای متغیر در طول سیکل قلب با چالش توزیع منفاوت و گستره روشناکی موافق هستند و به طبع نیاز به مذل‌ها و روش‌های پیچیده تری نسبت به تصاویر معمول دارند؛ مدل‌های فرم‌پذیر یک روش کارا، پرکاربرد و رایج به این منظور هستند. این مقاله انواع مدل‌های فرم‌پذیر را بررسی می‌کند و به تحلیل عملکرد آنها در استفاده از اطلاعات مربوطه به لبه، ناحیه، دانش اولیه شکل و پردازش محلی می‌پردازد.

## کلمات کلیدی

بخش‌بندی، تصاویر تشدید مغناطیسی قلبی، مدل‌های فرم‌پذیر پارامتری و هندسی.

فرآیند غربالگری، تشخیص و درمان بیماری‌های قلبی-عروقی می‌تواند موجب کاهش مرگ و میر و عوارض جانبی ناشی از این بیماری‌ها در جامعه بشری شود حائز اهمیت و ارزشمند است.

بررسی تصاویر تشدید مغناطیسی قلبی<sup>۲</sup> (CMRI) یک ابزار غیرتهاجمی برای تشخیص و درمان در بیماری‌های قلبی (CVD) به شمار می‌رود. با وجود کاربرد زیاد تصویربرداری CMR در تحقیقات مرتبط با CVD، استفاده از این ابزار تصویربرداری به صورت کلینیکی به دو علت محدود است: محدودیت اول، نقش زیاد بیمار در کیفیت تصویر خروجی ایفا می‌کند. به عبارت دقیق‌تر، حرکت فیزیکی بیمار یا حرکت‌های ناشی از تنفس

## ۱- مقدمه

تحقیقات اخیر نشان داده اند بیماری‌های قلبی عروقی<sup>۱</sup> (CVD) عامل بیش از ۳۱ درصد کل مرگ و میر در جهان است که بیش از ۳ میلیون نفر از آن‌ها دارای سنی کمتر از ۶۰ سال بوده‌اند<sup>[۱]</sup>. تنها در ایالات متحده در هر ۳۴ ثانیه یک نفر دچار حمله قلبی می‌شود<sup>[۲]</sup> و در سال حدود ۴۰۰۰۰۰ نفر بر اثر بیماری‌های قلبی-عروقی جان خود را ازدست می‌دهند که ۲۵ درصد کل آمار مرگ و میر را شامل می‌شود<sup>[۳]</sup>. از این رو هر ۵۰ نفره تلاش برای بهبود

<sup>2</sup> Cardiac Magnetic Resonance Images(CMRI)

<sup>1</sup> Cardiovascular diseases

در ادامه بخش ۲ به معرفی کلی مدل‌های فرم‌پذیر می‌پردازد و در بخش ۳ و ۴ به بررسی و طبقه‌بندی انواع مدل‌های فرم‌پذیر و دسته بندی آنها به دو گروه کلی مدل‌های فرم‌پذیر پارامتری و مدل‌های فرم‌پذیر هندسی و معرفی برخی از انواع طرح آنها می‌پردازد. در بخش ۵ نتایج برخی از انواع روش‌های مطرح شده مقایسه و بحث می‌شود.

## ۲- مدل‌های فرم‌پذیر

مدل‌های فرم‌پذیر، منحنی‌هایی هستند که در تصویر قرار می‌گیرند؛ که به این منحنی‌ها به اصطلاح مرز فعال<sup>۷</sup> یا کانتور اطلاق می‌شود. مرز فعال به منحنی تعریف شده اجازه می‌دهد تا در جهت کمینه سازی انرژی داخلی و خارجی از محل اولیه تا مقصد نهایی در دامنه تصویر تکامل پیدا کند. انرژی داخلی که برگرفته از خود منحنی است، نرم بودن مرز فعال را کنترل می‌کند و نیروی خارجی که برگرفته از ادادهای تصویر است، کانتور را به سمت مرز مورد نظر در تصویر و یا هر ویژگی مطلوب دیگری هدایت می‌کند.

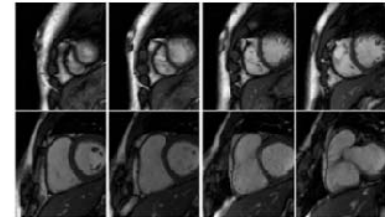
بطور کلی مدل‌های فرم‌پذیر را می‌توان به دو دسته تقسیم نمود: مدل‌های فرم‌پذیر پارامتری و مدل‌های فرم‌پذیر هندسی. مدل‌های فرم‌پذیر پارامتری به اصطلاح مدل‌های مرز فعال صریح<sup>۸</sup> و به مدل‌های فرم‌پذیر هندسی، مرز فعال ضمنی<sup>۹</sup> نیز گفته می‌شود. در هریک از این مدل‌ها می‌توان از چهار روش اصلی بهره گرفت، که این روش‌ها عبارتند از: روش‌های مبتنی بر لبه، ناحیه، شکل، کرنل<sup>۱۰</sup> (یا قاب<sup>۱۱</sup>). به دلیل آناتومی پیچیده قلب و شدت روش‌نایابی (کتراست) غیریکنواخت تصاویر CMRI در بخش بندی قلب از ترکیبی از این روش‌های استفاده می‌شود.

## ۳- مدل‌های فرم‌پذیر پارامتری

مدل‌های فرم‌پذیر پارامتری در واقع جز روش‌های کلاسیک محسوب می‌شوند. این مدل‌ها بدلیل توانایی افزودن انواع شرط‌ها، سهولت پیاده سازی و حجم محاسباتی کم از جمله روش‌های متداول هستند. از انواع آن می‌توان به مدل مارهای<sup>۱۲</sup>، مدل بالون<sup>[۱۳]</sup>، مدل شار بردار گرادیان(GVF)<sup>[۱۴]</sup>، شار بردار گرادیان با حفظ لبه<sup>[۱۵]</sup>(EPGVF)، مدل شار بردار گرادیان زمانی<sup>[۱۶]</sup>، مرز پتانسیل گوسی چند مقایسی<sup>[۱۷]</sup>، مرز پتانسیل وفقی<sup>[۱۸]</sup> و مرز فعال جهت دار<sup>[۱۹]</sup> نام برد. در ادامه به تشرییح مدل مارهای به عنوان یک نمونه متداول مدل‌های پارامتری، پرداخته می‌شود.

### ۳-۱-۱- مدل مارهای

مدل مارهای<sup>۱۲</sup> از جمله مدل‌های فرم‌پذیر پارامتری است که در آن از روش مبتنی بر لبه استفاده شده است<sup>[۲۰]</sup>. در این مدل مرز به صورت صریح و به صورت زنجیره‌ای از نقاط به صورت  $(x(s), y(s)) = X(s)$  تعریف می‌شود به طوری که  $s \in [0,1]$  باشد که در شکل(۲) نمایش داده شده است. این مرز بر روی دامنه تصویر در جهت کمینه کردن تابع انرژی رابطه<sup>[۲۱]</sup>



(الف)



(ب)

شکل ۱: مقایسه تصاویر CMRI (الف) با تصاویر اکوکاردیوگرافی (ب).  
 Moghb ایجاد اعوجاج در تصویر دستگاه‌های تصویربرداری و کیفیت آن را کاهش می‌دهد. البته این مشکل امروزه با پیشرفت دستگاه‌های تصویربرداری و یا عملیات حذف نویز در پیش پردازش تصاویر تا حد زیادی برطرف شده است. محدودیت دوم، حجم زیاد پردازش‌های لازم برای این تصاویر است به بیان دیگر، در CMRI، کل عضله قلب به صورت ۶ تا ۱۲ برش عرضی (از پایه<sup>۱</sup> تا نوک<sup>۲</sup> قلب) و در ۲۰ فریم از دوره قلبی<sup>۳</sup> تصویربرداری شده که در پایان حدود ۲۰۰ تصویر بدست می‌آید. واضح است که پردازش دستی این تصاویر بسیار وقت‌گیر زمان بر، خسته کننده و تابع دیدگاه متخصصین مختلف است.  
 به منظور رفع موانع موجود در سر راه استفاده تصاویر CMRI نیاز به یک پروسه پردازش اولیه و نهایی می‌باشد. پردازش اولیه به منظور بخش بندی تصاویر یعنی دست یابی به مرز صحیح اندکار و اپیکار در هر یک از مجموعه فریم‌های CMRI است و در مرحله پیشرفت‌تر با داشتن اطلاعات پردازش شده این فریم‌ها و کنار هم قرار دادن آنها به یک شکل سه بعدی متحرك از عملکرد دینامیکی عضله قلب (از نمای خارجی و داخلی) دست یافت. به این ترتیب اهمیت وجود روش‌هایی خودکار یا نیمه خودکار برای بخش بندی تصاویر تشید مغناطیسی بیشتر آشکار می‌شود.  
 تصاویر تشید مغناطیسی (MRI) مربوط به قلب با چالشی اصلی یعنی توزیع متفاوت و گستردگی روش‌نایابی به دلیل آناتومی پیچیده و پارامترهای متغیر در طول سیکل قلب، مواجه است. تاکنون با وجود تحقیقات بسیار صورت گرفته، مسئله بخش بندی حفره‌های قلب هنوز مسئله ای باز می‌باشد. به طور کلی روش‌های بخش بندی تصاویر قلبی به سه دسته اصلی تقسیم می‌شوند:  
 ۱- روش‌های مبتنی بر مدل‌های فرم‌پذیر<sup>۴</sup>، ۲- روش‌های مبتنی بر تطبیق شکل<sup>۵</sup> و ۳- روش‌های مبتنی بر گراف<sup>۶</sup>. این مقاله بطور خاص توجه خود را به روش‌های مبتنی بر مدل‌های فرم‌پذیر که یکی از مباحث پرکاربرد در پردازش تصویر بشمار می‌رود، معطوف می‌کند و با بررسی اجمالی و مقایسه تحقیقات صورت گرفته بستری مناسب برای مطالعه و پیشبرد حوزه بخش بندی تصاویر قلبی در آینده نزدیک باشد.

<sup>7</sup> Active contour

<sup>8</sup> Explicit Active contour

<sup>9</sup> Implicit Active Contour

<sup>10</sup> Kernel-based techniques

<sup>11</sup> Patch-based techniques

<sup>12</sup> Snakes

<sup>1</sup> Base

<sup>2</sup> Apex

<sup>3</sup> Cardiac cycle

<sup>4</sup> Deformable models

<sup>5</sup> Registration methods

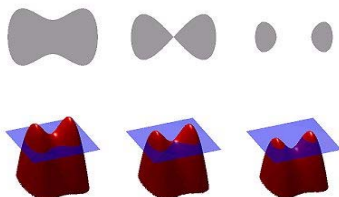
<sup>6</sup> Graph cut methods

قبيل بردار نرمال يكه و ميزان اتحنا معرفى مي گردد؛ به اين منظور ازتابع سطح تراز در مدل‌های هندسى استفاده مى‌شود. لازم است در ادامه ابتدا به معرفى اجماليتابع سطح تراز پرداخته شود. وبعد ازان به برسى برخى مدل‌های فرمپذير هندسى که در واقع در آنها در کثار بهره گيرى از روش‌های مختلف از تابع سطح تراز نيز برای توصيف مرز فعال بهره گرفته شده، پرداخته شود. از جمله موارد مدل‌های فرمپذير هندسى مى‌توان به کارهای بسياري اشاره کرد<sup>[۱-۲]</sup>؛ که در ادامه تنها به برسى مدل‌های مطرحى مانند مرز فعال کوتاه ترين طول<sup>۱</sup> (GAC)، مرز فعال بدون لبه<sup>۲</sup> (ACWE) [۱۸]، مدل مرز فعال آمارى<sup>۳</sup> (STACS) [۱۹] و مدل کرنلى تطبق باينري محلی<sup>۴</sup> (LBF) [۲۰] پرداخته مى‌شود. تابع حاصل از اين مدل‌ها در بخش‌بندی بطن چپ در بخش ۵ با يكديگر مقاييسه و برسى شدند.

#### ۴-۱-۴- تابع سطح تراز

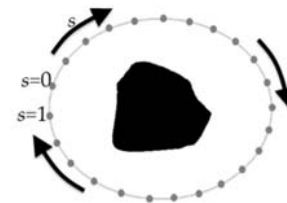
طبق روش ارائه شده توسط Osher و Sethian و همکاران برخلاف روش‌های پارامتری، تابع سطح تراز<sup>۵</sup> منحنی‌ها را به عنوان سطح صفر يك تابع اسکالار معرفى مى‌کند<sup>[۲۱]</sup> (كه برای وضوح بيشتر بصورت نمادين در شکل<sup>[۳]</sup> نمايش داده است). تکامل منحنی در روش تابع سطح تراز بصورت ضمنى، بدون نياز به پارامتر و ذاتي عمل مى‌کند. در تابع سطح تراز سطح موردنظر به عنوان سطح تراز صفر قرار داده مى‌شود و نقاط روبيه ي شکل که پايين تراز آن قرار گرفتند(keh متراوف با نواحي داخل سطح تراز صفر هستند) با علامت منفي و نقاط بالاتر از آن (keh متراوف با نواحي خارج از سطح تراز صفر هستند) با علامت مثبت قرارداد مى‌شوند. به اين ترتيب برای توصيف سطح تراز، يك ماتريس هم ابعاد ماتريس تصوير اوليه خواهيم داشت که مقادير آن بمحاجي نمايش سطوح روشنياي خاکستری<sup>۶</sup>، فاصله مناطق مختلف روبيه با سطح تراز صفر را نشان خواهند داد.

در مجموع در تابع سطح تراز به جاي دنبال کردن منحنى در طول زمان، با بهنگام سازى تابع سطح تراز تکامل منحنى بدست مى‌آيد. مزيت كاربرد سطح تراز در توصيف مرز فعال، در آن است که با بهره گيرى از مولفه ي عمود سطح باعث مى‌شود مشكل عدم تعغير شکل مرز با وجود تغيير پارامترهای آن در مدل‌های پارامتری رفع شود و به علاوه با تعغير مورفولوژي، بازهم تابع سطح تراز معتبر باقى بماند؛ لذا، در مجموع مدل‌های فرمپذير هندسى پاسخی برای رفع مشکلات اصلی مدل‌های فرمپذير پارامتری هستند.



شکل ۳: توصيف نمادين عملکرد تابع سطح تراز

<sup>1</sup> Geodesic active contour(GAC)  
<sup>2</sup> Active contour without edge(ACWE)  
<sup>3</sup> Stochastic Active Contour Scheme (STACS)  
<sup>4</sup> Local binary fitting energy(LBF)  
<sup>5</sup> Level set  
<sup>6</sup> Gray level



شکل ۲: توصيف مرز فعال اوليه در مدل مارها

حرکت مى‌کند.

$$E_{total} = E_{in} + E_{ex} \quad (1)$$

E<sub>in</sub> نشان دهنده انرژى داخلی است و نقش نرم کنندگى دارد و E<sub>ex</sub> نیروي خارجي است و وظيفه حرکت مرز فعال به سمت هدف را دارد.

$$E_{in} = \frac{1}{2} \int_0^1 \alpha \left| \frac{\partial X}{\partial s} \right|^2 + \beta \left| \frac{\partial^2 X}{\partial s^2} \right|^2 \quad (2)$$

در رابطه<sup>(۲)</sup>، عبارت اول سبب مشق پذير مرز شده و باعث مى‌شود که مدل، رفتاري مشابه به يك کش داشته باشد و از چين خورдگى مرز جلوگيرى مى‌شود. مشتق مرتبه دوم مانع از خميدگى مرز شده و سبب مى‌شود که مدل مانند يك جسم سخت عمل نماید و  $\alpha$  و  $\beta$  به ترتيب وزن اين عبارات‌های مربوط به کشسانى و سختى را تعبيين مى‌کند.

$$E_{ex} = \int_0^1 P(X(s)) ds \quad (3)$$

رابطه<sup>(۳)</sup> معرف انرژى خارجي است که در قالب يك انرژى پتانسیل در طول منحنى تعريف مى‌شود. تابع انرژى پتانسیل P(x,y) در محل مرز يا ويژگى موردنظر مقادير کمینه خود را اختيار مى‌کند. فرض کنيد که I(x,y) يك تصوير با سطوح خاکستری باشد، يك تابع انرژى پتانسیل رايج برای راند مدل فرمپذير به سمت مرزهای شی موردنظر، عبارتند از:

$$P(x,y) = |\nabla[G_\sigma(x,y)] * I(x,y)|^2 \quad (4)$$

كه در آن G<sub>σ</sub>(x,y) يك تابع گوسى دو بعدی با انحراف معيار  $\sigma$ ،  $\nabla$  عملگر گراديان و \* عملگر کانولوشن است. در نهايىت منحنى که تابعی انرژى E<sub>total</sub> را کمینه مى‌کند، توسط قضيه اويلر-لاگرانژ کمینه مى‌شود و معادله تکامل مرز فعال به صورت رابطه<sup>(۵)</sup> بدست مى‌آيد.

$$\frac{\partial}{\partial s} \left( \alpha \frac{\partial X}{\partial s} \right) + \frac{\partial^2}{\partial s^2} \left( \beta \frac{\partial^2 X}{\partial s^2} \right) - \nabla P(x,y) = 0 \quad (5)$$

مدل مارها و بطور کلى مدل‌های فرمپذير پارامتریک دارای يك سرى مشكلات جدى هستند که از آن جمله مى‌توان به عدم تعغير شکل و در حين تکامل منحنى على رغم تعغير پارامترهای آن و مشكلات مورفولوژي اشاره کرد. در واقع يكى از بزرگترین مشكلات اين مدل‌ها مشكلات مورفولوژي آنهاست که به معنای، عدم شکستن و ادغام مرز است، که ناشی از تعريف يكپارچگى مرز فعال در اين مدل‌ها است.

#### ۴- مدل‌های فرم پذير هندسى

برای مقابله با مشكلات مدل‌های فرمپذير پارامتری، مدل‌های فرمپذير هندسى مطرح شدند. در اين مدل‌ها برخلاف مدل‌های فرمپذير پارامتری مرز فعال بصورت ضمنى مطرح مى‌شوند و در واقع به اين دليل است که به مدل‌های فرمپذير هندسى مدل‌های ضمنى نيز مى‌گويند. در مدل‌های فرمپذير هندسى تعغير شکل و دگرديسي مرز فعال با معيارهای هندسى از

## ۴-۱-۲- مرز فعال کوتاه ترین طول

مرز فعال کوتاه ترین طول<sup>۱</sup> (GAC) از جمله روش‌های اولیه در مدل‌های فعال هندسی است که از روش مبتنی بر لبه بهره گرفته است[۱۷]. این مدل با استفاده از جریان هندسی منحنی را جمع و کوچک یا بزرگ و گستردۀ می‌کند، همچنین این روش به تشخیص دهنده لبه اجراه می‌دهد وقتی گرادیان‌های تصویر از ت نوع گستردۀ ای رنج می‌برند، پایدار بماند. مشکل تطبیق کانتور به معادل درست آن با استفاده از مینیمم فاصله منحنی بوسیله مینیمم کردن انرژی فاصله بدست می‌آید.

$$E(v) = \int_0^1 g\{ |\nabla I[v(p)]| \} |v'(p)| dp \\ = \int_0^{L(v)} g\{ |\nabla I[v(p)]| \} ds \quad (6)$$

در رابطه (6)  $g = \frac{1}{1+|\nabla I|^p}$  و  $L(v)$  طول تابع منحنی است که از رابطه  $I = \int_0^1 \left\| \frac{\partial v}{\partial p} \right\| ds$  بدست می‌آید. نسخه نرم شده تصویر I است و به این ترتیب مدل مرز فعال کوتاه ترین طول به شکل زیر بدست می‌آید.

$$\frac{\partial \phi}{\partial t} = g(I) |\nabla \phi| \left[ \operatorname{div} \left( \frac{\nabla \phi}{|\nabla \phi|} + k \right) + \nabla g(I) \cdot \nabla \phi \right] \quad (7)$$

در رابطه (7)،  $\phi$  معرف منحنی  $v$  است و  $k$  ثابت مثبت حقیقی که در واقع ثابت ترم سرعت  $|\nabla \phi|$  است. ترم آخر یعنی  $\nabla g(I) \cdot \nabla \phi$  برای  $\nabla g(I)$  جریان هندسی و غلبه بر مشکلات ناشی از لبه‌های دارای شدت روش‌نایابی کم است.

مرز فعال کوتاه ترین طول که با تابع سطح تراز ارائه شده ایده‌ی بسیاری از بخش‌بندی‌های برمبنای مرز در دهه‌های اخیر بوده است[۲۲ و ۲۳]. اگرچه مدل مرز فعال کوتاه ترین طول در بخش‌بندی تصاویر قلبی استفاده شده است؛ محدودیت‌هایی نیز دارد[۱۰ و ۱۱]: به عنوان مثال حساسیت نسبت به محاسبه اندازه گردایان نویز است بخاطر آنکه بسیاری از مقادیر سطوح خاکستری نویز را تقویت می‌کنند.

## ۴-۱-۳- مرز فعال بدون لبه

در مدل‌هایی که از روش‌های مبتنی بر لبه نشات می‌گیرند، گرادیان بعنوان یک معیار برای توقف منحنی بکار می‌رود؛ این در حالی است که اهدافی وجود دارند مرنزهای تکه شده، که مرنزهای آنها بوضوح یافت نمی‌شود؛ در این رابطه Vese و Chan مدل متفاوت ارائه دادند[۱۸]. این مدل که به مرز فعال بدون لبه<sup>۲</sup> (ACWE) معروف است در واقع یکی از مدل‌های پیشگام و مطرحی است که از ترم مبتنی بر ناحیه در تابع انرژی خود بهره گرفت. در این روش از تابع سطح تراز برای توصیف ضمنی مرز فعال C با ارتقا و بهره گیری از تابع انرژی مامفورد-شام[۲۲] بازنویسی شده است؛ در واقع در این روش از میانگین روش‌نایابی نواحی داخل و خارج مرز فعال برای فرایند بخش‌بندی استفاده می‌شود.

$$E(f, C) = \sum_{i=1}^N \lambda^2 \iint_{R_i} (\lambda[c_i(x, y) - I(x, y)]^2 + \mu|C| + vC) dx dy \quad (8)$$

رابطه (8) تابع انرژی مدل را نشان می‌دهد که در آن  $\nabla$  نواحی گستته‌ی کل ناحیه R را می‌پوشاند و N تعداد کل منحنی است.  $\lambda$ ،  $\mu$  و  $v$  پارامتر تنظیم کننده می‌باشند. با استفاده از قضیه اویلر-لاگرانژ معادله تکامل از رابطه بالا بصورت زیر بدست می‌آید.

$$\frac{\partial \phi}{\partial t} = \delta(\phi) \left[ \mu \operatorname{div} \left( \frac{\nabla \phi}{|\nabla \phi|} \right) - v - \lambda(|c_1 - I|^2 + |c_2 - I|^2) \right] \quad (9)$$

که در این رابطه  $\delta$  تابع ضربه است. بنابراین روند مینیمم کردن انرژی به نواحی  $c_1$  و تابع سطح تراز  $\phi$  بستگی خواهد داشت.  $\lambda$  و  $\mu$  همانند قبل پارامتر تنظیم کننده می‌باشد.

## ۴-۱-۴- مدل مرز فعال آماری

برای پنهانی عملکرد بخش‌بندی در تحقیقی Pluemputiwihiyawe<sup>3</sup> (STACS) و همکاران مدل مرز فعال آماری<sup>۳</sup> (STACS) را پیشنهاد داد که در آن علاوه بر اطلاعات مبتنی بر لبه و ناحیه از اطلاعات شکل پیشین نیز استفاده شد[۱۹]. هدف ارائه روشی خودکار به منظور تکمیک پیکسل‌های تصویر به دو گروه پیش زمینه و قلب است در این روش، که از تابع سطح تراز نیز بهره برد شده است، تابع انرژی آن بصورت معادله (18) می‌باشد.

$$J(C) = \lambda_1 J_1(C) + \lambda_2 J_2(C) + \lambda_3 J_3(C) + \lambda_4 J_4(C) \quad (10)$$

در رابطه (10)، C نشان دهنده مرز فعال می‌باشد، و در این تابع انرژی آن چهار جمله دیده می‌شود. آها برای  $\lambda_1 = 1$  به ترتیب عبارت مبتنی بر ناحیه، لبه، شکل پیشین و نرم کننده هستند. ضرایب  $\lambda_1$  نیز وزن این ترم‌ها را در طی تکامل مرز فعال تعیین می‌کنند؛ تنظیم این وزن‌ها به این صورت است که در شروع وزن  $\lambda_2$  بیشتر است به این ترتیب ترم  $J_2$  و  $J_1$  که بترتیب مبتنی بر ناحیه و لبه می‌باشند غالب می‌شود و به این ترتیب ترم  $J_2$  و  $J_1$  که بترتیب مبتنی نزدیک کردن مرز فعال به مرنزهای مطلوب پیش می‌رود و در مراحل بعد وزن  $\lambda_3$  افزایش می‌باید تا در روند مینیمم کردن تابع انرژی، ویژگی شکل پیشین اهمیت بیابد تا مرز فعال شبیه به شکل مورد نظر باشد یا حداقل تفاوت فاچشی با آن نداشته باشد. و وزن ترم نرم کننده یعنی  $\lambda_4$  در طی تکامل همواره ثابت نگه داشته می‌شود.

$$J_1(\phi) = \int_{\Omega} -\ln[p_1(u(x, y))] H_{\epsilon}(\phi(x, y)) - \ln[p_2(u(x, y))] [1 - H_{\epsilon}(\phi(x, y))] dx dy \quad (11)$$

که  $J_1$  ترم مبتنی بر ناحیه است و در آن از  $H_{\epsilon}$  تابع پله هویساید بهره گرفته شده است و I نشان دهنده تصویر اصلی و  $p_1$  و  $p_2$  دو تابع چگالی احتمال با توزیع گوسی به ترتیب برای توصیف نواحی داخل و خارج مرز فعال است و  $u$  ناحیه مورد بررسی و  $\phi$  تابع سطح تراز است.

$$J_2(\phi) = \iint_{\Omega} -|G_{\sigma} * I(x, y)| ds \\ = \iint_{\Omega} -|G_{\sigma} * I(x, y)| \delta_{\epsilon}(\phi(x, y)) |\nabla \phi(x, y)| dx dy \quad (12)$$

که  $J_2$  ترم مبتنی بر لبه است که در آن  $G_{\sigma}$  کرنل دو بعدی گوسی با انحراف معیار  $\sigma$  است که در واقع ماهیت  $|I(x, y)| G_{\sigma} * I(x, y)$  مانند ترم توقف در روش‌های مبتنی بر لبه است. و همچنین در این رابطه  $ds$  طول مرز فعال

<sup>3</sup> Stochastic Active Contour Scheme (STACS)

<sup>1</sup> Geodesic active contour(GAC)

<sup>2</sup> Active contour without edge(ACWE)

$$K_\sigma(\mathbf{u}) = \frac{1}{(2\pi)^{n/2} \sigma^n} e^{-|\mathbf{u}|^2/2\sigma^2} \quad (20)$$

بر اساس معادله (۱۹) تابعی انرژی LBF شامل چهار جمله است. دو جمله اول برای بخش‌بندی تصویر براساس متوسط روشانی محلی نواحی درون و برون مرز درنظر گرفته شده‌اند. جمله سوم با کمینه کردن طول مرز فعال، مانع از ایجاد چین و چروک در آن می‌گردد و جمله سوم سبب منظم شدن تابع سطح تراز در طول تکامل مرز می‌شود. در معادله (۱۹) دوتابع  $f_1$  و  $f_2$  به ترتیب متوسط روشانی محلی نواحی درون و برون مرز را به صورت بهینه محاسبه می‌کنند. از این‌رو مقدار بهینه این دوتابع با مشتق‌گیری از (۱۹)

بر حسب  $f_1$  و  $f_2$  بدست می‌آید:

$$\begin{cases} f_1(\mathbf{x}) = \frac{K_\sigma(\mathbf{x}) * [H_\epsilon(\phi(\mathbf{x}))u(\mathbf{x})]}{K_\sigma(\mathbf{x}) * H_\epsilon(\phi(\mathbf{x}))} \\ f_2(\mathbf{x}) = \frac{K_\sigma(\mathbf{x}) * [(1 - H_\epsilon(\phi(\mathbf{x})))u(\mathbf{x})]}{K_\sigma(\mathbf{x}) * (1 - H_\epsilon(\phi(\mathbf{x})))} \end{cases} \quad (21)$$

در این مدل نیز معادله تکاملی مرز فعال، با استفاده از معادله اویلر-لاگرانژ به صورت معادله (۲۲) بدست می‌آید.

$$\begin{aligned} \frac{\partial \phi}{\partial t} &= -\delta(\phi)(\lambda_1 e_1 - \lambda_2 e_2) \\ &+ \nu \delta(\phi) \operatorname{div} \left( \frac{\nabla \phi}{|\nabla \phi|} \right) + \mu \left( \nabla^2 \phi - \operatorname{div} \left( \frac{\nabla \phi}{|\nabla \phi|} \right) \right) \end{aligned} \quad (22)$$

در رابطه (۲۲) نماد  $\nabla$  نشان دهنده عمل گر گرادیان،  $\nabla^2$  عملگر لاپلاس، عملگر دیورزانس است. هم‌چنین مقادیر  $e_1$  و  $e_2$  به صورت معادله (۲۳) و (۲۴) محاسبه می‌شوند.

$$e_1 = \int_{\Omega} K_\sigma(\mathbf{y} - \mathbf{x}) |u(\mathbf{x}) - f_1(\mathbf{y})|^2 d\mathbf{y} \quad (23)$$

$$e_2 = \int_{\Omega} K_\sigma(\mathbf{y} - \mathbf{x}) |u(\mathbf{x}) - f_2(\mathbf{y})|^2 d\mathbf{y} \quad (24)$$

## ۵- بحث، نتایج و نتیجه‌گیری

در این مقاله با مروری بر روش‌های موجود و پر کاربرد به دسته بندی آنها برداخته شد. مدل‌های فرم‌پذیر پارامتری مشکلات اساسی مانند عدم تغییر مورفولوژی و عدم تغییر شکل منحنی علی رغم تغییر پارامتریک وجود داشت. مدل‌های فرم‌پذیر فعال هندسی با بهره گیری از تابع سطح تراز در واقع پاسخی برای این مشکل اصلی مدل‌های فرم‌پذیر پارامتری بود ولی خود نیز محدودیت‌هایی مانند حساس بودن به محاسبه مقدار گرادیان در نقاط نویزی تصویر دارد. مقایسه ای از سه روش مدل GVF [۶] که در واقع جز مدل‌های فرم‌پذیر پارامتری است و دو مدل فرم‌پذیر هندسی شامل مرز فعال بدون لبه (ACWE) و مدل مرز فعال آماری (STACS) (با منظور بخش‌بندی مرز اندوکارد بطن چپ و مقایسه آنها با یکدیگر و مقایسه کلی با بخش‌بندی دستی یعنوان یک روش سنتی، در شکل ۴ نمایش داده شدند [۶]) همانطور که ملاحظه می‌شود روش STACS که از مزایای روش‌های مبتنی بر لبه، ناجیه، شکل و نرم کننده بهره برده است نسبت به سایرین نتایج بهتر و نزدیک تری

است که با استفاده از تابع سطح تراز بازنویسی شده است و  $\epsilon$  معرف تابع ضربه است.

$$J_3(\phi) = \iint_{\Omega} D^2(x, y) \delta_\epsilon(\phi(x, y)) |\nabla \phi(x, y)| dx dy \quad (13)$$

$$D(x, y) = ax^2 + bxy + cy^2 + dx + ey + f \quad (14)$$

در رابطه (۱۳) ترم مبتنی بر شکل است که در آن  $D$  معادله بیضی است و در آن  $a, b, c, d, e, f$  ضرایت معادله بیضی را مشخص می‌کنند. در مجموع در این ترم با کمینه کردن فاصله مرز فعال و معادله بیضی، مرز فعال وادار به تبعیت از شکل بیضی می‌شود.

$$J_4(\phi) = \int_C ds = \delta_\epsilon(\phi(x, y)) |\nabla \phi(x, y)| dx dy \quad (15)$$

که  $J_4$  ترم آخر و عبارت مبتنی بر نرم کنندگی است که با مینیمم کردن طول مرز فعال آن را بصورت دایره ای حفظ می‌کند و از گسستگی آن جلوگیری می‌نماید. به این ترتیب معادله تکامل مدل STACS با استفاده از قضیه اویلر-لاگرانژ به صورت زیر محاسبه می‌شود.

$$\frac{\partial \phi}{\partial t} = [\lambda_1(M_1 - M_2) - \nabla P \cdot \frac{\nabla \phi}{\|\nabla \phi\|} - P k] \delta_\epsilon(\phi) \quad (16)$$

$$\text{که } \kappa = \operatorname{div} \left( \frac{\nabla \varphi}{|\nabla \varphi|} \right) \text{ اتحانی سطح تراز بوده و تابع } P \text{ مطابق رابطه (۱۷) به صورت زیر تعریف می‌شود:} \\ j$$

$$P(x, y) = \lambda_1(-|G_\sigma * I(x, y)|) + \lambda_2 D^2(x, y) + \lambda_4 \quad (17)$$

همچنین،  $M_1$  و  $M_2$  بترتیب منفی لگاریتم توابع توزیع چگالی احتمال  $p_1$  و  $p_2$  مطابق رابطه (۱۸) برای  $k=1,2$  بدست می‌آید.

$$M_k = \frac{1}{2} \ln(2\pi\sigma_k^2) + \frac{(I(x, y) - m_k)^2}{2\sigma_k^2} \quad \text{for } k = 1, 2 \quad (18)$$

## ۴-۵- مدل مرز فعال ضمنی با تطبیق محلی

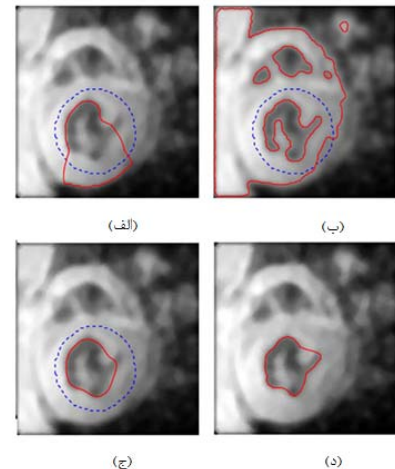
در تحقیقی Li و همکارانش مدل کرنلی تطبیق باینری محلی<sup>۱</sup> (LBF) را ارائه کردند [۲۵]. آن‌ها با الهام از روش ACWE [۱۸] و استفاده از کرنل گوسی، دو تابع تطبیق ( $f_1$  و  $f_2$ ) برای تقریب سطوح خاکستری پیکسل‌های واقع در همسایگی داخلی و خارجی مرز فعال تعریف کردند. به این ترتیب، تابعی انرژی LBF به صورت زیر بدست آمد:

$$\begin{aligned} J(\phi, f_1, f_2) &= \\ &\alpha_1 \int_{\Omega} \int_{\Omega} K_\sigma(\mathbf{x} - \mathbf{y}) |u(\mathbf{y}) - f_1(\mathbf{x})|^2 H_\epsilon(\phi(\mathbf{x})) d\mathbf{y} d\mathbf{x} + \\ &\alpha_2 \int_{\Omega} \int_{\Omega} K_\sigma(\mathbf{x} - \mathbf{y}) |u(\mathbf{y}) - f_2(\mathbf{x})|^2 (1 - H_\epsilon(\phi(\mathbf{x}))) d\mathbf{y} d\mathbf{x} \\ &+ \nu \int |\nabla H_\epsilon(\phi(\mathbf{x}))| d\mathbf{x} + \mu \int \frac{1}{2} (\|\nabla \phi(\mathbf{x})\| - 1)^2 d\mathbf{x} \end{aligned} \quad (19)$$

که در آن که  $\phi$  تابع سطح ترازو  $\alpha_2, \alpha_2, \mu$  و  $\nu$  ضرایب وزنی ثابت  $H(\phi)$  تابع پله واحد است. همچنین، کرنل گوسی  $G_\sigma$  (با انحراف معیار  $\sigma$ ) به صورت رابطه (۲۰) محاسبه می‌شود.

<sup>1</sup>Local binary fitting energy(LBF)

- Segmentation by Temporal Information Constrained Gradient Vector Flow.*" In Systems, Man, and Cybernetics (SMC), 2013 IEEE International Conference on, pp. 2551-2555. IEEE,( 2013).
- [9] S. Ranganath, "Contour extraction from cardiac MRI studies using snakes," IEEE Trans. Medical Imaging, vol. 14, no. 2, pp. 328–338, 1995.
- [10] J.C. Nascimento and J.S. Marques, "Adaptive snakes using the EM algorithm," IEEE Trans. Image Processing, vol. 14, no. 11, pp. 1678–1686, 2005.
- [11] H.W. Park, T. Schoepflin, and Y. Kim, "Active contour model with gradient directional information: directional snake," IEEE Trans. Circuits and Systems for Video Technology, vol. 11, no. 2, pp. 252–256, 2001.
- [12] N. Paragios, "A Variational Approach for the Segmentation of the Left Ventricle in Cardiac Image Analysis," Int. J. Comput. Vis. 50(3), 345–362 (2002).
- [13] Woo, Jonghye, Byung-Woo Hong, Amit Ramesh, Guido Germano, C-C. Jay Kuo, and Piotr Slomka, "Curve evolution with a dual shape similarity and its application to segmentation of left ventricle." In SPIE Medical Imaging, pp. 72593T-72593T. International Society for Optics and Photonics,( 2009).
- [14] Woo, Jonghye, Piotr J. Slomka, C-C. Jay Kuo, and Byung-Woo Hong. "Multiphase segmentation using an implicit dual shape prior: Application to detection of left ventricle in cardiac MRI." Computer vision and image understanding 117, no. 9 (2013).
- [15] Lynch, Michael, Ovidiu Ghita, and Paul F. Whelan. "Left-ventricle myocardium segmentation using a coupled level-set with a priori knowledge." Computerized Medical Imaging and Graphics 30, no. 4 (2006).
- [16] Chen, Ting, James Babb, Peter Kellman, Leon Axel, and Daniel Kim. "Semiautomated segmentation of myocardial contours for fast strain analysis in cine displacement-encoded MRI." Medical Imaging, IEEE Transactions on 27, no. 8 2008.
- [17] V. Caselles, R. Kimmel, and G. Sapiro, "Geodesic active contours," Int. J. Comput. Vis. 22(1), 61–79 1997.
- [18] T. Chan and L. Vese, "Active contours without edges," IEEE Trans. Image Process. 10(2), 266–277, IEEE 2001.
- [19] C. Pluempitiwiriyavej, J.M.F. Moura, Y.-J. L. Wu, and C. Ho, "STACS: new active contour scheme for cardiac MR image segmentation," IEEE Trans. Medical Imaging, vol. 24, no. 5, pp.03, 2005.
- [20] Li, Chunming, Chiu-Yen Kao, John C. Gore, and Zhaohua Ding. "Implicit active contours driven by local binary fitting energy." In Computer Vision and Pattern Recognition, 2007. CVPR'07. IEEE Conference on, pp. 1-7. IEEE, 2007.
- [21] S. Osher and J. Sethian, "Fronts propagating with curvature-dependent speed: algorithms based on Hamilton-Jacobi formulations," J. Comput. Phys. 79(1), 12–49 1988.
- [22] D. Mumford and J. Shah, "Boundary detection by minimizing functionals," Int. Conf. Comput. Vision Pattern Recognit., 22–26, IEEE, San Francisco, CA (1985).



شکل ۲: مقایسه بخش‌بندی اندوکارد بطن چپ، روش‌های (الف) روش مدل فرم‌پذیر پارامتری GVF ، (ب) ACWE ، (ج) روش STACS و (د) روش دقیق دستی (خط آبی یا خط چین مرز اولیه و خط قرمز مرز نهایی).

به بخش‌بندی دستی کسب کرده است. در مجموع در این مقاله چندین روش بخش‌بندی مختلف شرح داده شد و روند بهبود نتایج در آنها بررسی شد؛ ولی همچنان بخش‌بندی تصاویر تشیدی مغناطیس قلبی (MRI) بدليل آناتومی پیچیده، محدودیتهای توزیع روشانی و پارامترهای متغیر در طول یک سیکل قلبی بعنوان چالشی مطرح باقی مانده است . بنابراین روشهایی برای بهبود بخشیدن به بخش‌بندی تصاویر قلبی مخصوصاً بطريق خودکار برای آینده یک نیاز ضروری به نظر می‌رسد.

## مراجع

- [1] S. Mendis, P. Puska, *Global atlas on cardiovascular disease prevention and control*, WHO Press, World Health Organization Publications, 2011.
- [2] K. Kochanek, J. Xu, S. Murphy, A. Miniño, H. Kung, "Deaths: final data for 2009," National Vital Statistics Reports, vol. 60, no. 3.
- [3] V. Roger, A. Go, D. Lloyd-Jones, E. Benjamin, J. Berry, W. Borden, et al, "Heart disease and stroke statistics—2012 update: a report from the American heart association," Circulation, vol. 125, no. 1, pp. e2-220, 2012
- [4] M. Kass, A. Witkin, and D. Terzopoulos, "Snakes: active contour models," Int. J. Comput. Vis. 1(4), 321–331 (1988).
- [5] C. Xu and J.L. Prince, "Snakes, shapes, and gradient vector flow," IEEE Trans. Image Processing, vol. 7, no. 3, pp. 359–369, 1998.
- [6] C. Xu and J.L. Prince, "Generalized gradient vector flow external forces for active contours," Signal Processing, vol. 71, pp. 131–139, 1998.
- [7] Li, Chunming, Jundong Liu, and Martin D. Fox. "Segmentation of edge preserving gradient vector flow: an approach toward automatically initializing and splitting of snakes." In Computer Vision and Pattern Recognition, 2005.
- [8] Yang, Xulei, Si Yong Yeo, Yi Su, Calvin Lim, Min Wan, Liang Zhong, and Ru San Tan. "Right Ventricle